

## 窒化反應用 金屬珪素 및 그 Compacts의 Characterization

(Densification of Silicon Nitride 1報)

朴 金 結 · 崔 相 旭\*

한양대학교

(1983年 8月 18日 接受)

## The Characterization of Metal Silicon and Compacts for the Nitridation

Keum-Churl Park and Sang-Wook Choi\*

Hanyang University

(Received August 18, 1983)

### ABSTRACT

This work aims at characterizing silicon grains and its compacts. In order to remove iron, silicon grains were washed with 5N hydrochloride at 60~70°C for 170 hrs., and then followed the chemical analysis by atomic absorption spectrophotometer, X-ray diffraction analysis, SEM observation and specific surface area determination by B.E.T.

Mixtures of graded silicon particles with two or three different sizes were made into packings by mechanical vibration. The mixtures were used to make compacts with 10 mm in diameter and 70 mm in length by isostatically pressing at 1,208 kg/cm<sup>2</sup> (20 kpsi) and 4,225 kg/cm<sup>2</sup> (60 kpsi) respectively. Bulk densities of packings and compacts were measured.

A slip, made of magnesium nitrate solution and fine silicon particles, was spray-dried and then decomposed at 300°C for the purpose of coating the uniform layer of magnesium oxide on the surface of particles.

The results obtained are as follows;

- (1) About two thirds of iron content could be removed from silicon by washing silicon powders with hydrochloric acid.
- (2) Uniform layer of magnesium oxide on the surface of silicon could be prepared by spray-drying suspension and by decomposing it.
- (3) B.E.T. specific surface area of fine silicon particles was 2,826.753 m<sup>2</sup>/kg.
- (4) In the binary system with two sizes of 40~53 μm particles and <10 μm particles, the maximum bulk density of packing was 55% of theoretical value, and that of compacts, made at the pressure of 4,225 kg/cm<sup>2</sup> (60 kpsi), was 73% of theoretical value.
- (5) In the ternary system with three sizes, the maximum bulk density of packing was 1.43 g/cm<sup>3</sup>, and that of compacts was 1.80 g/cm<sup>3</sup> which is equivalent to 77.6% of theoretical value. The composition of the closest compact was consisted of 50% of 40~53 μm particles, 20% of 10~30 μm particles and 30% of <10 μm particles.

### I. 緒 論

反應結合窒化珪素(Reaction-Bonded Silicon Nitride;

\* 인하대학교

\* Inha University

RBSN)는 金屬珪素를 原料로 하여 1250~1450°C에서 窒化反應시켜서 만들 수 있다<sup>1)</sup>고 한다. 金屬珪素는 용융온도가 1413°C, 線膨脹係數가  $3.92 \times 10^{-6} \text{ }^{\circ}\text{C}^{-1}$  ( $300\sim 1600\text{ }^{\circ}\text{K}$ )<sup>2)</sup>, 密度가 2.32 g/cm<sup>3</sup>(고체)<sup>2)</sup>, 2.52 g/cm<sup>3</sup>(액체)<sup>3)</sup>이며, 1350°C에서 蒸氣壓과 蒸發速度는 각각  $10^{-7}$

atm 과  $10^{-6}$  kgm $^{-2}$  sec $^{-1}$ <sup>10</sup>] 다<sup>4</sup>. 또한珪素粒子表面에는 두께 3 nm 의 실리카膜(native silica film)을 갖고 있어 窒化反應에 방해要因이 된다<sup>5</sup>고 한다. 硅素내의 鐵分은 窒化反應을 촉진<sup>6</sup>시키는데 硅素와 낮은 温度에서도 反應하여 液相의 FeSi<sub>2</sub>의 만들어 지며, 이에 表面의 酸化物層(SiO<sub>2</sub>)을 SiO로 변화시켜 없애줌으로 窒素가 硅素내로擴散하는데 도와주게 된다<sup>5</sup>. 이때문에  $\beta$ -Si<sub>3</sub>N<sub>4</sub>가 FeSi<sub>2</sub>液相内에서 생겨生成된다고 한다.

窒化反應에 쓰여지는 硅素의 粒子크기는 10~25 μm이고 compacts의 密度는 1.50~1.66 g/cm<sup>3</sup>, 气孔이 약 20%이다. 硅素粒子의 모양<sup>6,7</sup>, 크기<sup>7</sup>, 粒子分布와 混合比<sup>7~9</sup> 및 成形壓<sup>10</sup>등은 充填密度와 compacts의 密度 및 强度에 큰 영향을 미치는 것으로 알려져 있다. 粒子充填에 있어 둥근모양의 1種粒子만으로 된 것은 充填密度가 약 62%, 2種球는 크기비 77.5:1, 부피비 74:26으로 混合하면 充填密度가 84.5%, 3種球는 크기비 77:7:1, 부피비 66:25:9로 混合하면 充填密度 93.5%, 또 4種球는 크기비 316:38:7:1, 부피비 60.7:230:10.2:6.1로 混合하면 充填密度를 95.1%까지 얻을 수 있었다고 보고<sup>11</sup>하였다. 그러나 실제 球가 아닌 모양의 粒子를 充填하였을 때는 球에 비하여 상당히 낮은 充填密度를 나타내는데 모래로서 크기비 50.5:8:1, 부피비 70:10:20으로 混合하면 84.5%, chammote로서는 4~14 mesh 50%, 14~65 mesh 10%, 65~100 mesh 40%로 充填하여 78%의 充填密度를 얻었다<sup>12</sup>고 한다.

Mangles 등<sup>13</sup>은 硅素 compacts의 密度가 55%에서 85%로增加될 때 따라 反應結合窒化硅素의 燒結時收縮率은 20%에서 5%로 줄일 수 있다고 하였다.

본 연구에서는 窒化反應에서 FeSi<sub>2</sub>液相이 低溫에서生成되고<sup>15</sup> 硅素의 산화를 촉진<sup>16</sup>시키는 등, 큰 영향<sup>6</sup>을 주는 것으로 알려진 硅素中 鐵分을 가능한 한 최소로 줄여주기 위하여 硅素를 鹽酸處理한 다음, 不純物의 含量을 原子吸光器로 定量하고자 하여 充填에 큰 영향을 주는 粒子의 모양, 크기等을 走査顯微鏡으로 관찰하고 反應面積과 관계가 깊은 比表面積을 BET로 측정하고, 또 充填性을 向上시켜 주고 compacts의 부피密度를 높여 주기 위하여 粒度調整을 하는 等 粒子의 特性을 究明하고자 한다. 즉 窒化反應과 燒結性에 영향을 주는 粒子의 特性과 compacts의 特性을 규정함으로써 2次研究인 窒化反應과 燒結性的研究에 기초로 삼고자 한다. 또한 燒結에 촉진효과를 주는 MgO는 硝酸마그네시움溶液으로 침가하여 그 分散性을 높이고자 하였다.

## II. 實驗方法

### 2.1 硅素의 鹽酸處理

炭化鈶그스텐(WC)材의 shatter box로 粉碎한 硅素粒子중에 10 μm 이하, 10~30 μm 및 40~53 μm를 택하여 鹽酸으로 處理한 다음 原料로 사용하였는데 鹽酸處理의 目的是 硅素中에 학유한 鐵分을 除去하는데 있고 그 方法은 粒子를 약 16%의 鹽酸溶液에 넣고 약 70°C로 가열하면서 170 시 간동안 유지한 다음 漏過, 水洗 및 乾燥하였다.

### 2.2 X線回折分析

X線回折分析에 사용한 기기는 Philips 1300 series이며 사용조건은 Cukα, ni filter, range 10<sup>3</sup> cps, time const. 2 sec, scanning speed 1°/min, chart speed 1cm/min 이었다.

### 2.3 不純物(金屬)의 分析

金屬底素가 함유하는 Ca, Mg, Fe 및 Al 등의 不純物含量을 측정하는데 Evans Electro-selenium Limited의 EEL 240 原子吸光器를 사용하였다.

#### 2.3.1 標準溶液

(1) Fe 分析用은 2.5g의 순수鐵(Fe) 線, (2) Mg 分析用은 4.145g의 MgO, (3) Ca 分析用은 4.24g의 CaCO<sub>3</sub>, (4) Al 分析用은 2.5g의 순수 Al 線을 각각 5N 鹽酸에 녹여 증류수로 회석하여 0.5, 1.0, 2.5, 5.0, 10 및 30 ppm의 標準溶液을 만들고 原子吸光器로 이를 標準濃度에 대한 標準曲線을 만들었다.

#### 2.3.2 試料溶液

최종의 分析값을 보증할 목적으로 金屬硅素을 窒化反應시켜 만든 窒化硅素과 金屬硅素를 각각 0.1g 씩 취하고 이것을 5N 鹽酸 3ml에 넣어 녹인 다음, 증류수를 가하여 1000ml 되게 만들었다. 이중 100ml 만 취하여 다시 증류수를 가하여 1000ml로 만들었다. 이 溶液을 原子吸光器로 측정하여 標準曲線으로부터 그 含量을 구하였다.

#### 2.3.3 實驗條件

原子吸光器의 實驗條件은 Table 1과 같다.

#### 2.4 微粒子硅素의 모양

微粒子의 硅素를 gold sputtering한 다음 Camscan社의 走査顯微鏡으로 粒子의 모양을 관찰하였다.

#### 2.5 硅素의 比表面積측정

硅素粒子의 比表面積측정에는 Perkin-Elmer BET를 사용하였고 He 가스를 充填流體로 사용하였다.

#### 2.6 粒子의 充填

20 ml의 베스실린더에 原料를 풀고루 넣고 振幅 2m

**Table 1.** Instrumental Conditions for Atomic Absorption Analysis

Element	Flame	Instrument Mode	Wave Length $\lambda$ (mA)	Lamp Current (mA)	Slit
Al	nitrous oxide/acetylene	Integrate	396.2	10	2
Ca	air/acetylene	direct	422.7	5	2
Mg	"	"	285.2	6	3
Fe	"	"	248.0	15	3

m, 振動數 1分間 약 2000회되는 振動器위에 올리 약 10分間 空氣中에서 부피에 대한 質量을 계산하여 부피密度로 하였다.

### 2.7 成形

시름 10 mm, 길이 70 mm 되는 고무튜브에 약 6g의試料를 넣은 다음 振動器위에 놓고 약 5분동안 充填시켜 Isostatic press로 1208 kg/cm<sup>2</sup>와 4225 kg/cm<sup>2</sup>의 壓力下에서 成形하여 compacts를 만들었다.

### 2.8 부피密度의 측정

부피密度의 측정은 mercury densiometer를 사용하였으며 그 계산방법은 다음과 같다.

$$S = \frac{W_1}{W_2} \times D_{Hg}$$

여기서

$W_1$  : 成形體의 건조質量

$W_2$  : 成形體의 水銀中에서 質量

$D_{Hg}$  : 水銀의 密度

S : 成形體의 부피密度

### 2.9 理論密度

理論密度는 첨比重에 대한 부피比重의 배분률로 나타내었다.

### 2.10 金屬珪素의 MgO Coating

金屬珪素의 窒化反應과 濑結作用에 효과를 주기 위하여 金屬珪素表面에 均一한 MgO 層을 만들어 줄 필요가 있다.  $Mg(NCO)_2 \cdot 6H_2O$  를 溶液에 녹여 (16.62g/200ml water) 溶液을 만들고 이 溶液에 金屬珪素 50g을 넣어 slip을 만들었다. 이 slip을 出口ガス溫度 100°C가 되도록 spray dryer를 조절하여 干燥시킨 다음 meker burner 위에서 热處理하여 褐色인 기가 보이지 않을 때까지 지어 주면서 热分解시키고 이것을 다시 300°C의 電氣가마에 넣어 2시간 유지하였다.

## III. 實驗結果 및 考察

微粒의 金屬試料에 대한 X-線回折分析의 結果는 Fig. 1과 같다. 回折角(2θ)을 10~60°로 하였을 때 金屬珪素의 (111), (220) 및 (311)面에서 뚜렷한 peak들과 Al holder의 것으로 보이는 작은 peak를 볼 수 있다. 微粒의 金屬成分은 이 方法으로 定量할 수 없음으로 原子吸光器를 이용하여 중요한 不純物의 金屬成分에 대하여 분석하였는데 그 結果는 Table 2와 같다.

微粒의 金屬珪素와 硼酸나그네시움溶液으로 만든 slip을 spray-dry 시킨 粒子, 이 粒子의 热分解渣유물 및 金屬珪素의 差查顯微鏡사진을 Fig. 2에 나타내었다. 이 그림에서 金屬珪素의 粒子크기는 대개 10 μm 이하

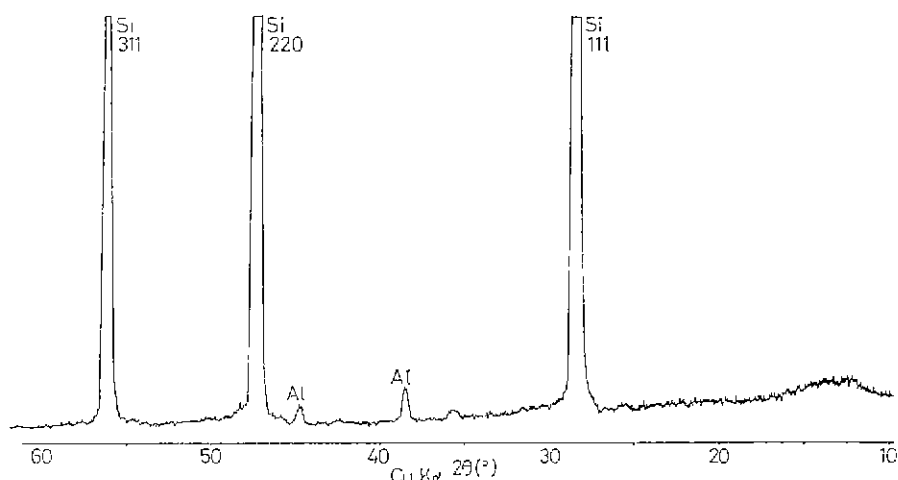


Fig. 1. X-ray Diffraction Pattern of Silicon.

**Table 2.** Impurities in washed Metal Silicon determined by Atomic Absorption Spectrophotometer.

Elements	Percent of Impurities
Al	0.282
Ca	0.352
Mg	0.003
Fe	0.425(1.317)

( ); the value in unwashed silicon

이에 비교적 길고 모서리를 가지는 粒子모양을 갖고 있다. 硝酸마그네슘의 휘복되어 있는 硅素粒子表面은 연속적인 皮膜으로 덮혀 있으며 热分解시킨 것은 硅素表面에 不連續의이고 斑點같은 粒子가 불규칙하게 붙어 있음을 볼 수 있다.

硝酸마그네슘용액으로 만든 金屬硅素의 slip을 spray-dry한 다음, 热分解시킨 試料에 대하여 X-線回折分析을 한 결과는 Fig. 3과 같다. 이 그림에서는 순수

한 金屬硅素를 대상으로 한 Fig. 1에서 볼 수 없던 MgO의 peak를 볼 수 있었는데 이것은 硝酸마그네시움의 热分解로生成된 것으로 생각된다.

微粒의 硅素粒子에 대하여 比表面積을 측정한結果는 比表面積이  $2826.753\text{m}^2/\text{kg}$ 이고 그 標準偏差가  $1.470166\text{E}^{-0.3}$ 이다.

硅素의 微粒子와 中間粒子의 단독 또는 그들 混合物에 대한 充填密度와 成形體에 대한 부피密度 및 理論密度를 Fig. 4에 나타내었다. 두 粒子의 混合物에 대한 充填密度는 一種크기 粒子들의 充填密度보다 큰 값을 나타내었으며 微粒에 中間粒子를 차츰 많이 混合할수록 부피密度는 급격히 增加하였고 微粒:中間粒子의 比가 70:30일 때 最大값을 나타내었는데 이에 理論密度의 약 55%였다. 이들 混合物에 대하여  $1408\text{kg}/\text{cm}^2$  및  $4225\text{kg}/\text{cm}^2$ 의 壓力으로 成形한 compacts의 부피比重에 있어서는 高壓으로 成形한 compacts가 低壓으로 成形한 compacts보다 더 높은 부피比重을 가지며 最大값은 부피比重  $1.70\text{g}/\text{cm}^3$ , 理論密度의 약 73

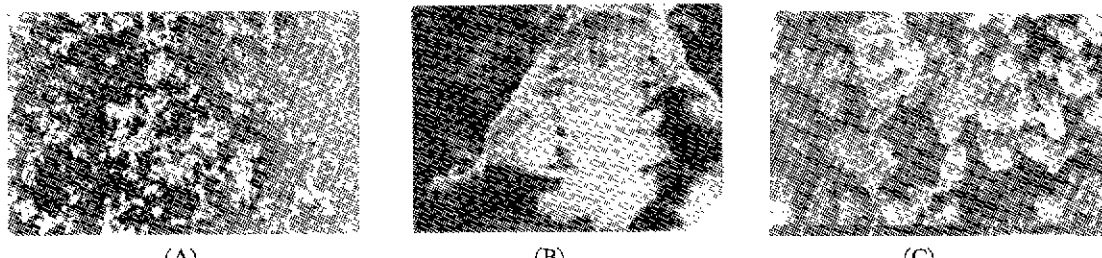


Fig. 2. Photographs of Scanning Electron Microscope (A) fine silicon grains, (B)  $\text{Mg}(\text{NO}_3)_2$  doped silicon by spray-drying slip, (C) calcined (B).

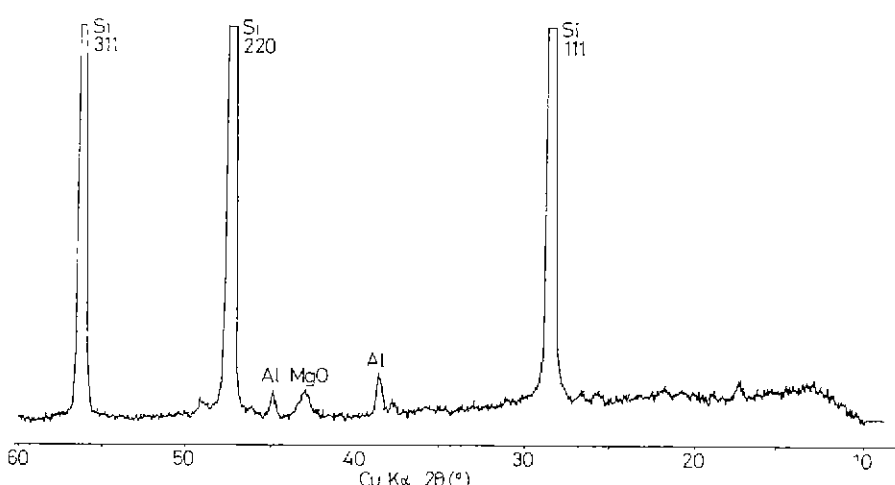


Fig. 3. X-ray Diffraction Pattern of Calcined Mixture of Silicon and Magnesium Nitrate.

%이었다. 그러나 최대값과 최소값의 차이에 있어서는充填物間의 차이보다 compacts間의 차이가 낮은 경향을 나타내었다. 또한 成形壓에 따른 부피密度의 差異를 살펴보면 高壓으로 만들어진 compacts의 差異가 low pressure로 만들어진 것들보다 더 크다. 이것은 成形壓을 크게 할 수록 粒度의 分布가 더욱 중요함을 나타내어 주는 것으로 생각된다. 充填物에 있어서도 粒度의 分布가 부피密度에 큰 영향을 주고 있음을 보여준다.

微粒과 粗粒간의 混合比 및 부피密度의 관계를 Fig. 5에 나타내었다. 이 그림에서도 Fig. 4와 비슷한 경향을 보여 주고 있는데 最大의 充填密度 및 부피密度값은 약간 높아서 充填密度  $1.30 \text{ g/cm}^3$  (理論密度의 약 56%)와 부피密度  $1.71 \text{ g/cm}^3$  (理論密度의 74%)이 있다. 이제의 두 比率은 粗粒 : 微粒이 70 : 30이었다.

微粒, 中間粒 및 粗粒을 섞어 最大의 充填密度를 갖는充填物과 最大의 부피密度를 갖는 compacts를 만들기 위하여 Fig. 6에 나타낸 A, A', A'', B, B', B'', C, C', C'' 등 9點의組成을 갖는 compacts를 만들어 이들에 대한充填密度와 부피密度를 측정하여 Table 3에 나타내었다. A-group에서는 A''과 A'이 차례로 높은

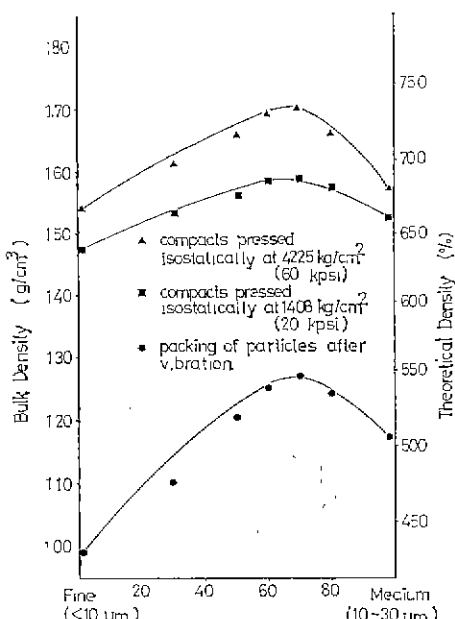


Fig. 4. Densities of Compacts and Packing of Metal Silicon Powders (fine-medium particles)

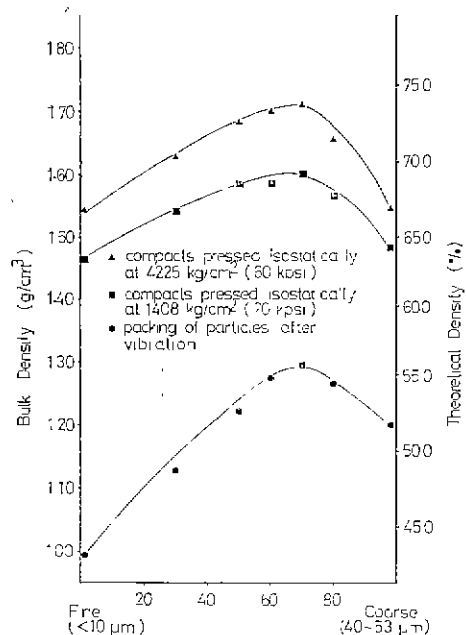


Fig. 5. Densities of Compacts and Packing of Metal Silicon Powders (fine-coarse particles)

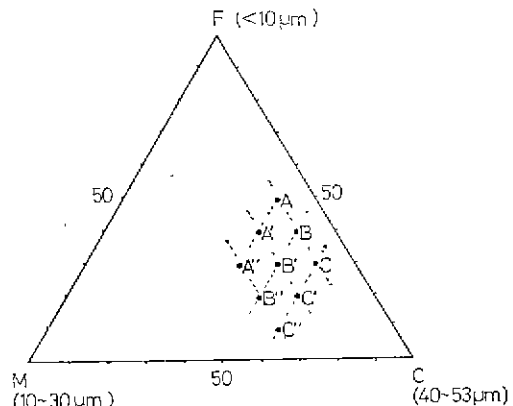


Fig. 6. Ternary Mixtures of Metal Silicon Powders (fine-medium-coarse particles)

理論密度값을 나타내었고 B-group에서는 B'과 B가 차례로 높은 理論密度값을 나타내고 C-group에서는 C와 C'이 차례로 理論density값을 나타내고 있는데 모두 微粒의量이 약 30%일 때이며 그 다음이 粗粒의量이 약 40%일 때이다. 最大값을 나타내는 B'점의組成은 粗粒 50%, 中間粒 20% 및 微粒 30%일 때인데 이 점에서의 充填密度  $1.43 \text{ g/cm}^3$ , 부피密度  $1.80 \text{ g/cm}^3$ , 理論密

**Table 3.** Densities of Powder Packings and Compacts of the Graded Metal Silicon(Ternary Mixtures)

Samples	Densities		
	Packing of Particles (bulk, g/cm <sup>3</sup> )	Compacts (bulk, g/cm <sup>3</sup> )	(theoretical, %)
A	1.33	1.53	70.3
A'	1.38	1.72	74.1
A''	1.40	1.74	75.0
B	1.40	1.75	75.4
B'	1.43	1.80	77.6
B''	1.38	1.72	74.1
C	1.42	1.77	76.3
C'	1.40	1.73	74.5
C''	1.32	1.60	69.0

度의 77.6%이다 이 값들은 2粒子의 充填物로 일은 것보다 훨씬 큰 값을 나타내고 있다.

#### IV. 結論

反応結合窒化珪素(RBSN)를 合成하는데 原料가 되는 金屬珪素와 이들로 만든 compacts의 特性을 알아보기 위하여 그 기초가 되는 실험을 행하였다. 여기서 일은 자료는 다음과 같다.

- (1) 珪素內의 鐵分은 脲酸處理로 약 2/3를 除去할 수 있었다.
- (2) 微粒의 硅素粒子는 10/ $\mu\text{m}$  이 하로서 모서리는 예리한 편이 있다.
- (3) 硓酸마그네시움溶液으로 만든 金屬珪素의 Slip을 spray-dry 한 후 热分解시킴으로써 粒子表面에 비교적 均一한 MgO 괴복을 만들 수 있었다.
- (4) 微粒의 金屬珪素의 比表面積은 2826.753 m<sup>2</sup>/kg 이었다.
- (5) 두 粒子間의 充填物은 粗粒:微粒 또는 中間粒:微粒의 무게비가 70:30일 때 最大의 充填密度를 보였다. 成形體의 부피密度도 이 比率의 것이 最大값을 보였다.
- (6) 3種의 粒子充填에서 最大의 充填密度(1.43 g/cm<sup>3</sup>) 와 最大의 compacts 부피比重(1.80 g/cm<sup>3</sup>, 77.6%) 을 나타내는 粒度比는 粗粒:中間粒:微粒이 50:20 : 30이었다.

後記: 本研究를 도와주신 영국 Leeds 大學의 Dr. A.

J. Moulson 과 Dr. Julian Evans께 감사드린다.

#### 参考文献

- 1) A. J. Moulson; Review, "Reaction-bonded silicon nitride: its formation and properties", *J. Mater. Sci.*, 14 (1017-51) (1979).
- 2) Handbook of Thermophysical properties of solid Materials, Vol. 1 "Elements", edited by A. Goldsmith (Macmillan, New York, 1961).
- 3) Hand book of Chemistry and physics 54th ed. B 235 (CRC Press Cleveland, Ohio 1973/4).
- 4) I. Langmuir; *Phys. Rev. Ser.*, 22 329 (1913).
- 5) A. Atkinson, A. J. Moulson; "Science of Ceramics 8" p. 111. Brit. Ceram. Soc., Stoke-on-Trent 1976.
- 6) P. Popper, S. N. Ruddlesden; "Preparation, properties and structure of silicon nitride", *Trans. Brit. Cer. Soc.*, 60 603-26 (1961).
- 7) Daniel E. Leiser; O. J. Whittmore, Jr., "Compaction behavior of ceramic particles", *Am. Ceram. Soc. Bull.*, 49 (8) 714-17 (1970).
- 8) A. E. P. Westman, H. R. Hugill; "The packing of Particles", *J. Am. Ceram. Soc.*, 13 767-79 (1930).
- 9) 지은입, 한기성, 최상욱: "납석분체물의 충전에 관한 연구", 요업학회지 10 (3) 54-61 (1973).
- 10) Ibid; "지은소성 납석질 Ladle 벽돌의 특성에 관한 연구", 요업학회지 12 (2) 33-39 (1975).
- 11) R. K. McGahey; "Mechanical packing of Spherical particles", *J. Am. Cer. Soc.*, 44 (10) 513-22 (1961).
- 12) F. H. Norton; "Effect of grain sizing on shrinkage and porosity of Georgia kaolin refractories", *Am. Ceram. Soc. Bull.*, 12 330-37 (1933).
- 13) John A. Mangels, Gerald J. Tennenhouse; "Sintering behavior and microstructural development of yttrium-doped reaction-bonded silicon nitride", *Am. Ceram. Soc. Bull.*, 60 (12) 1306-10 (1981).
- 14) A. Gachello, P. Popper; "Post-sintering of reaction-bonded silicon nitride", *Ceramurgia International* 5 (3) 110-114 (1979).
- 15) T. G. Chart; High temperature-high pressure 2 p. 461. (1970).
- 16) A. Atkinson, A. J. Moulson, Progress Report No. 5 (1975) SRC Research Grant B/SR/7943